

Fig. 1

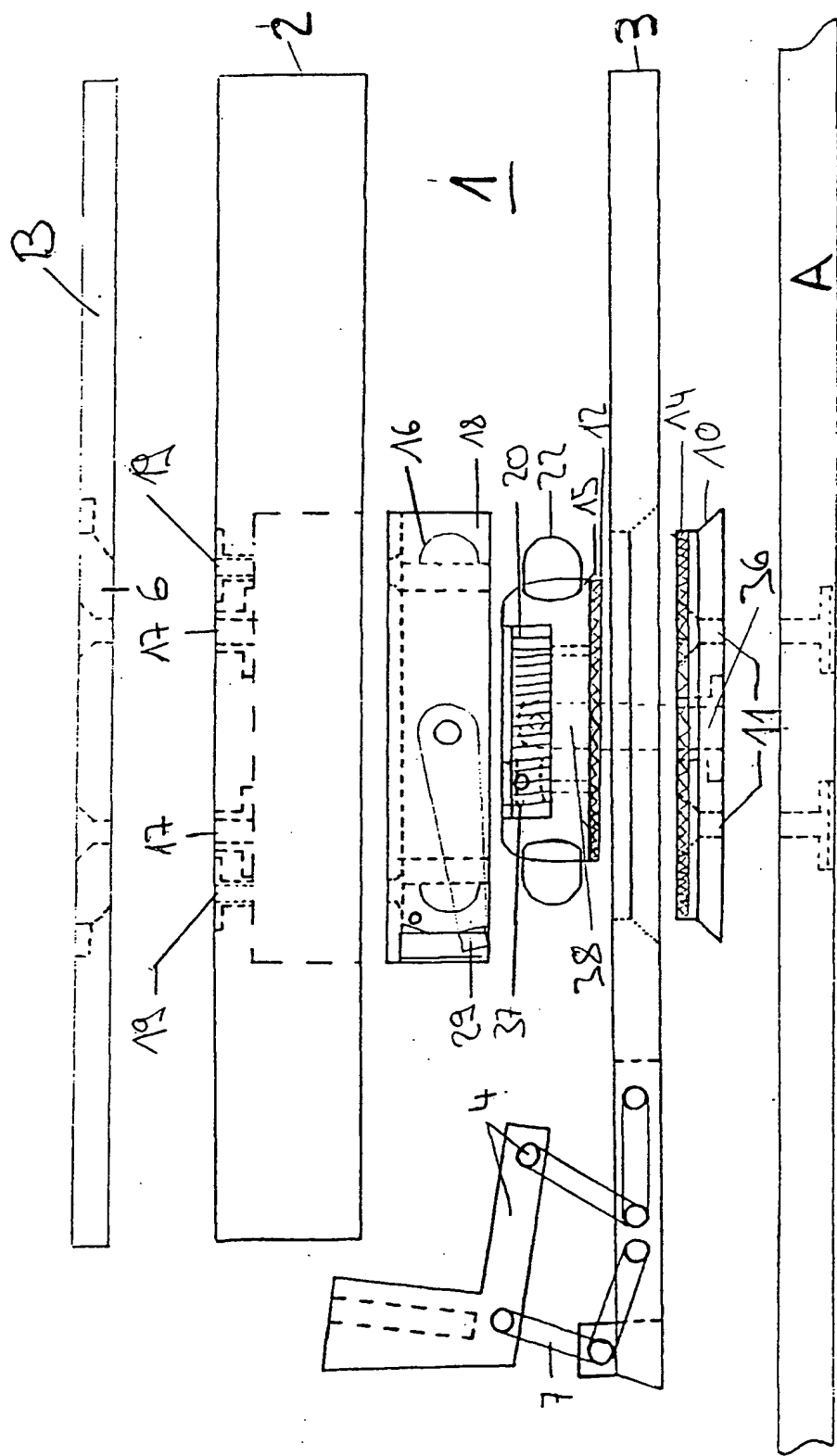


Fig. 2

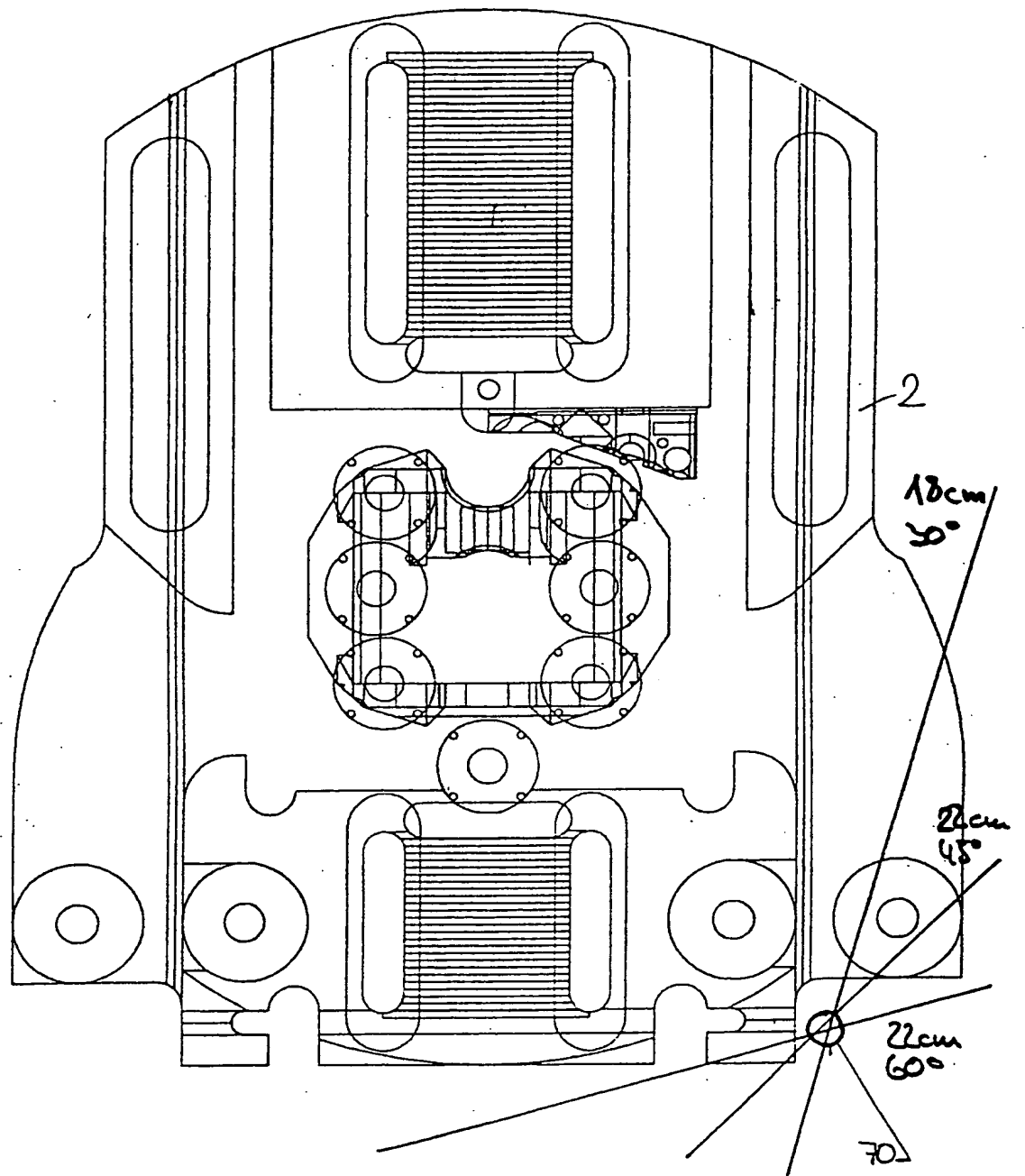


Fig. 3

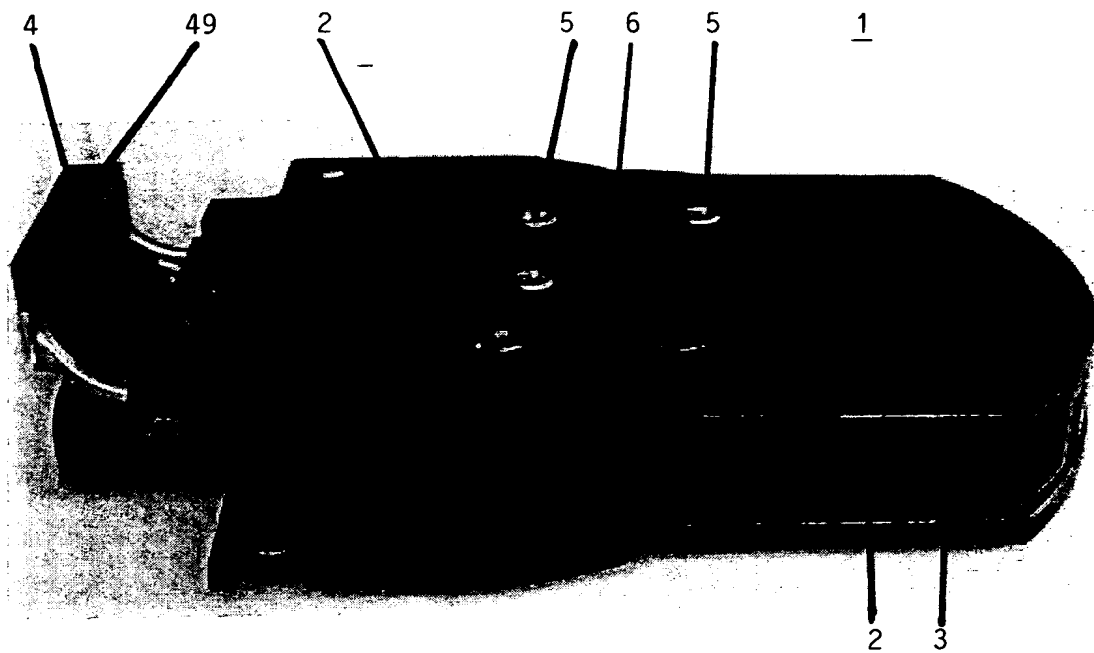


Fig. 4

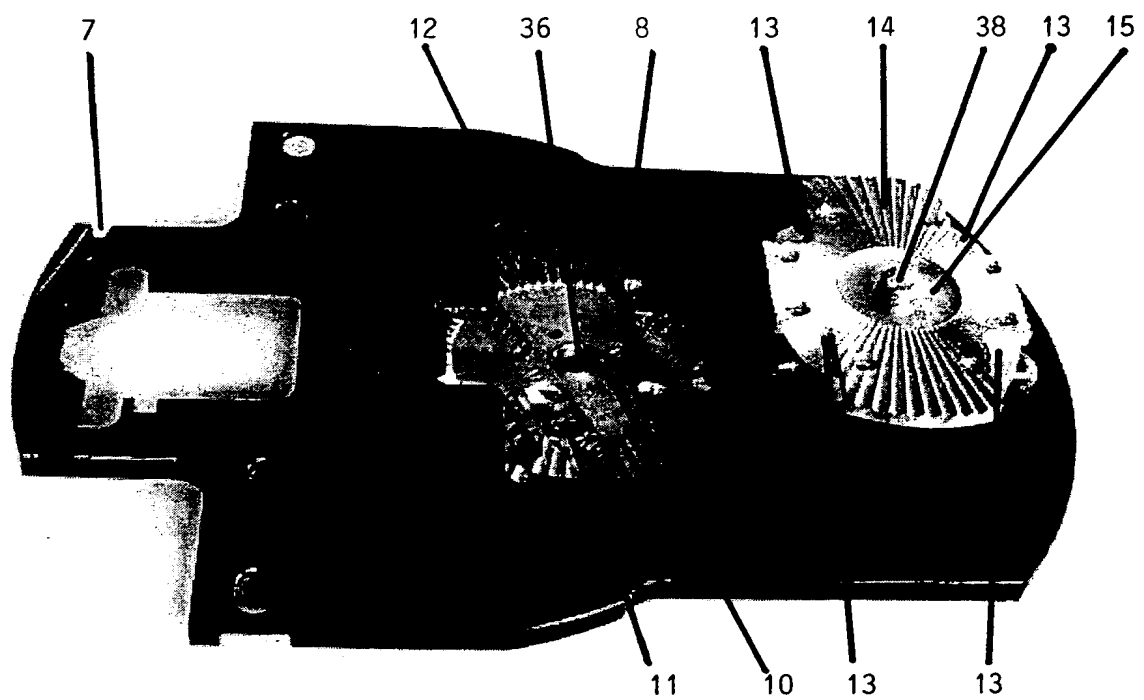


Fig. 5

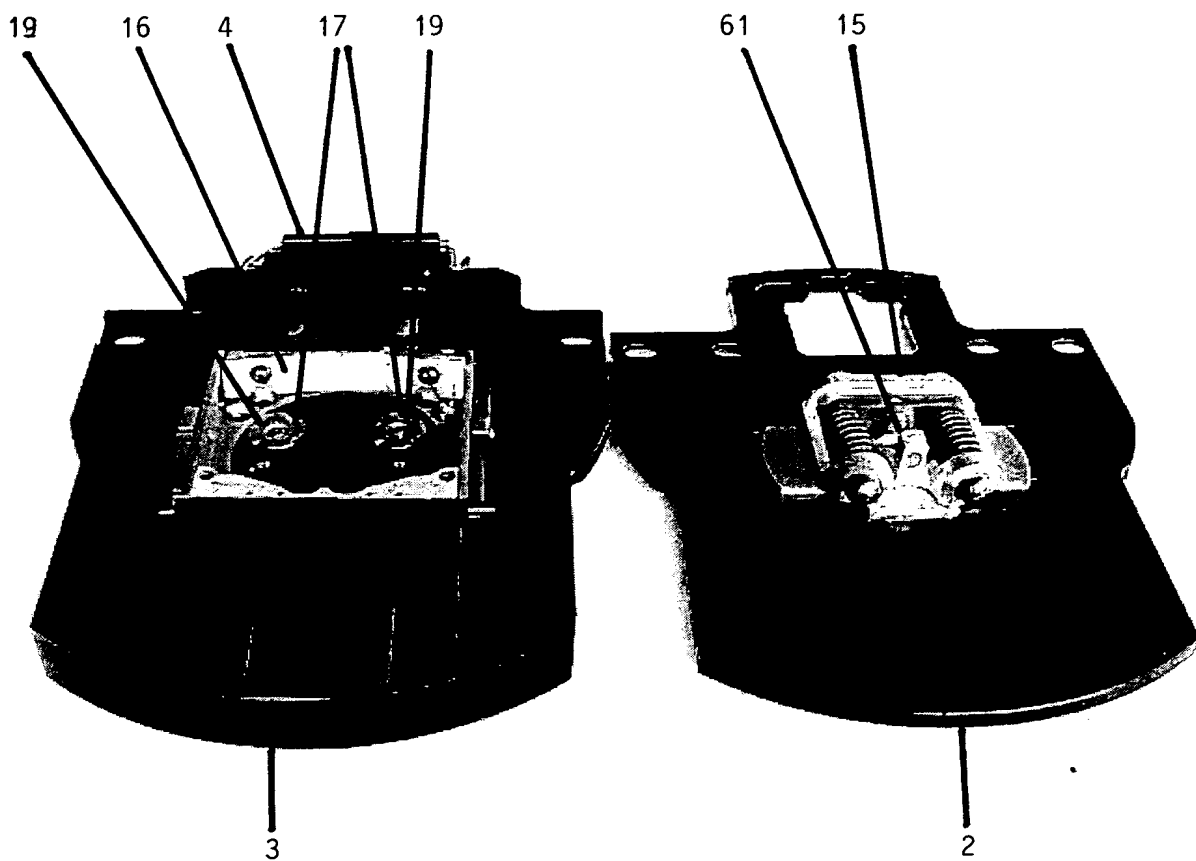


Fig. 6

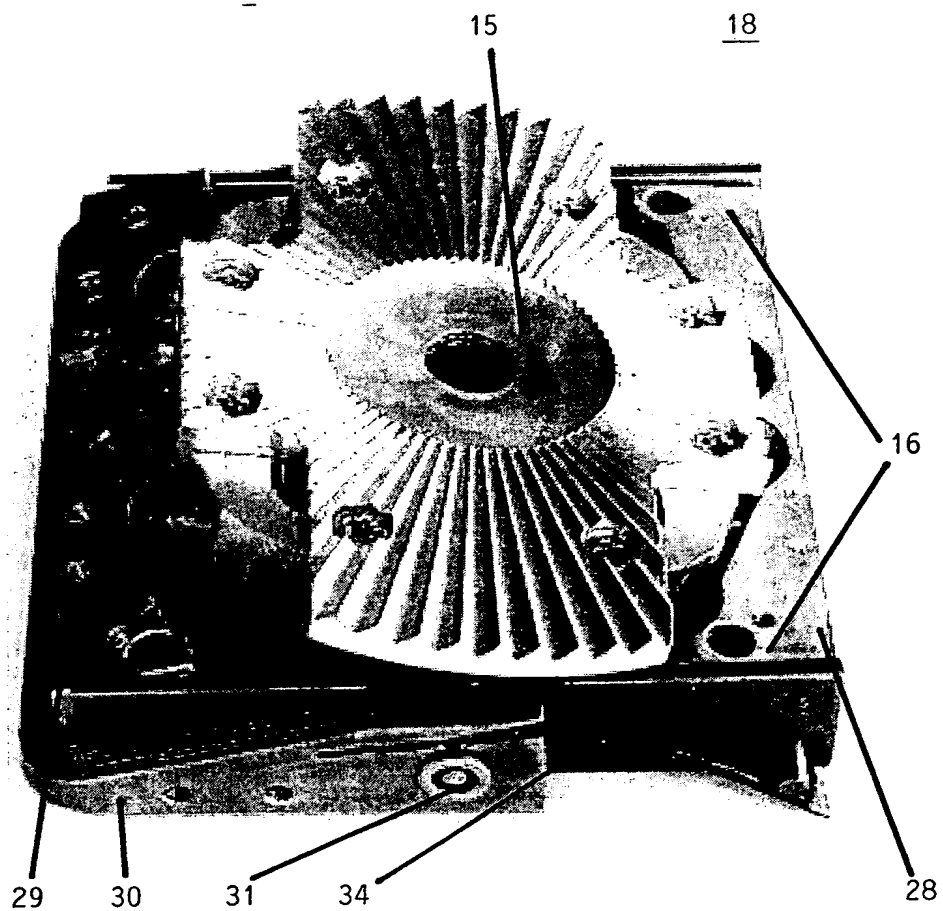


Fig. 7

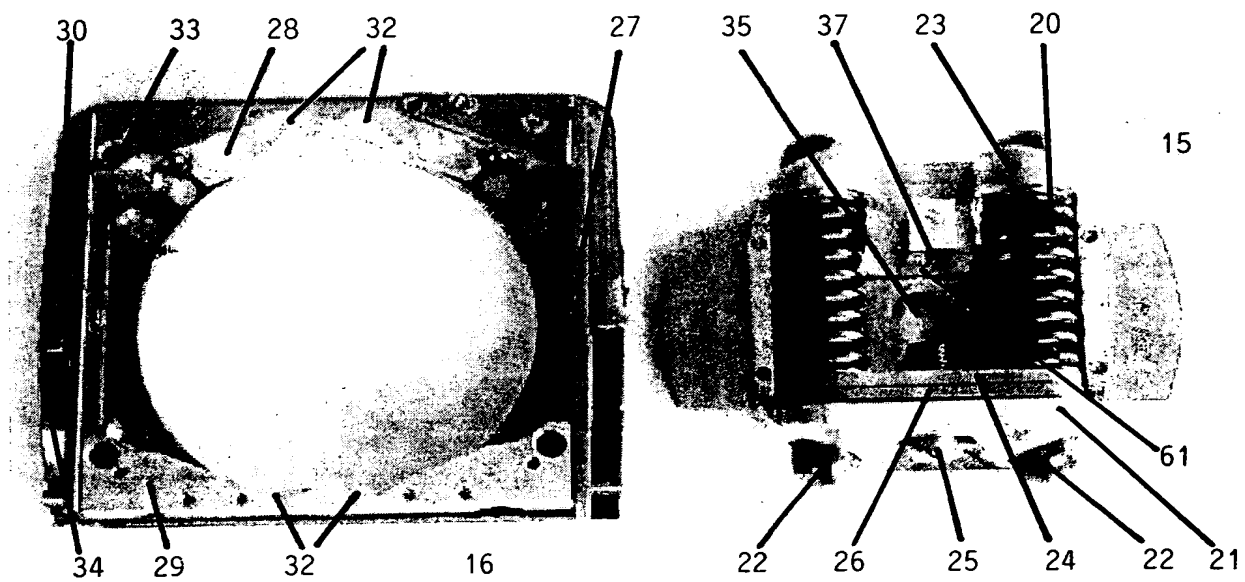


Fig. 8

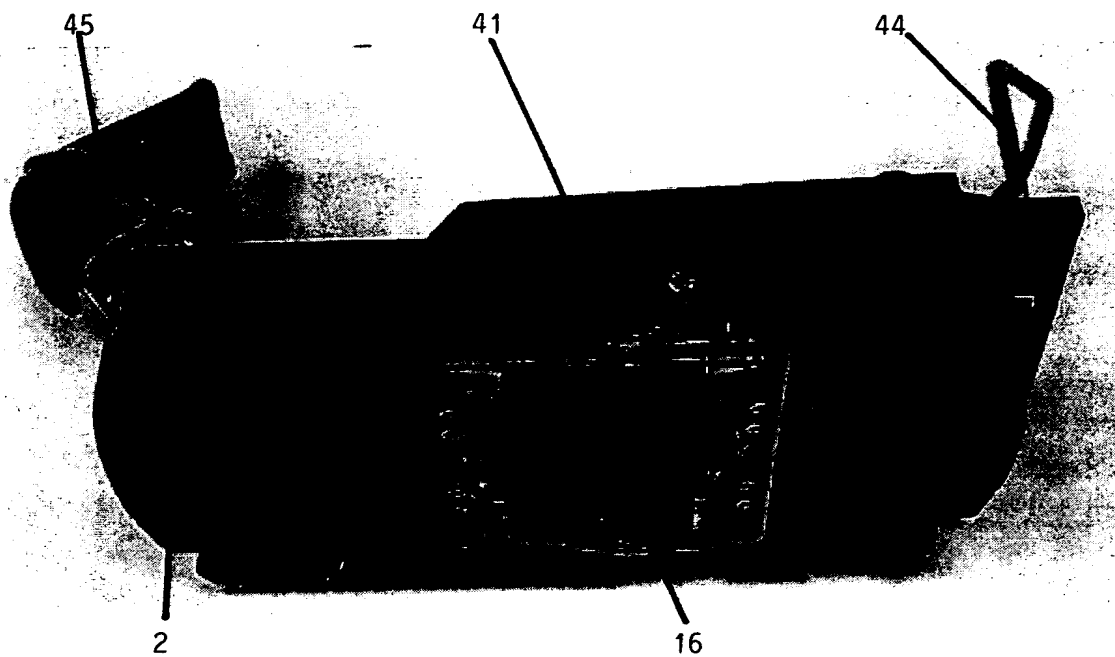
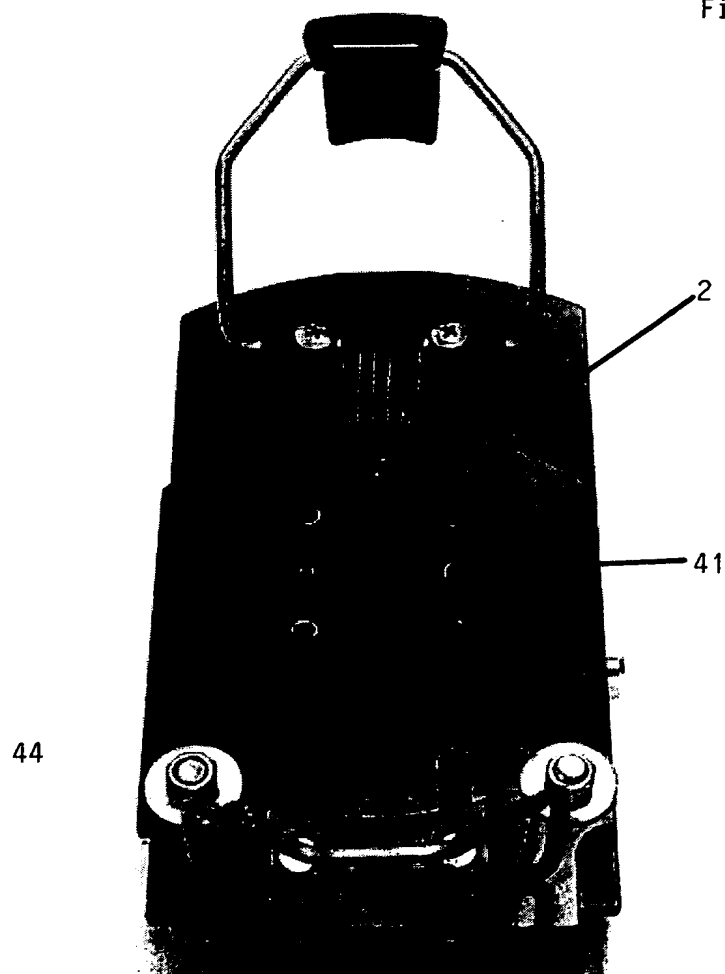


Fig. 9

Fig. 10



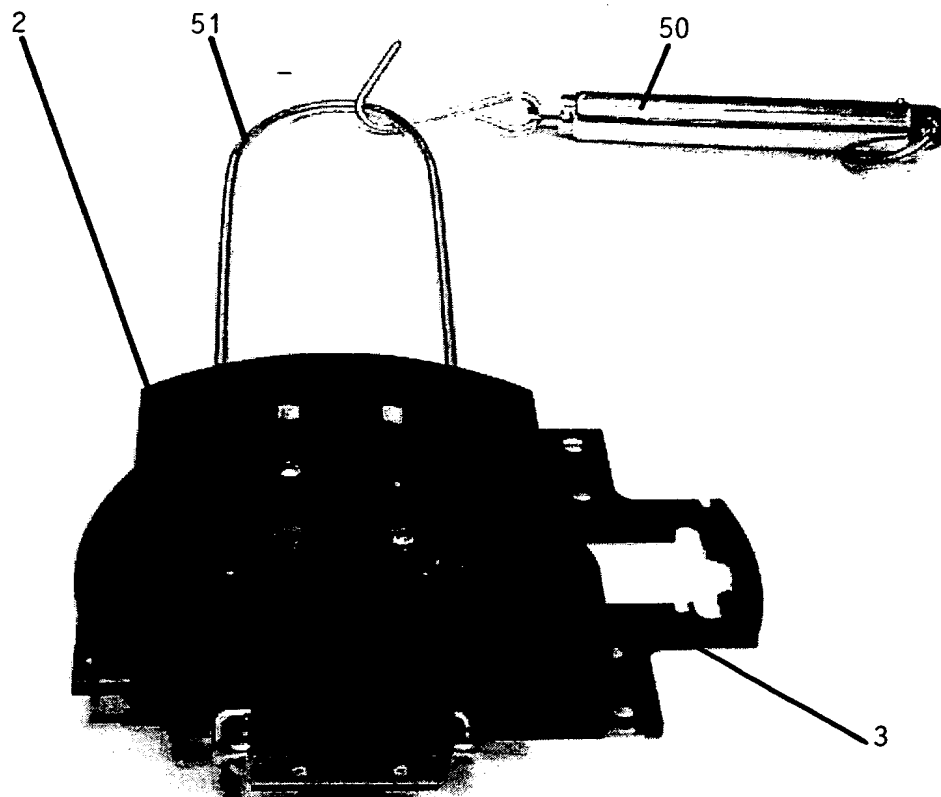


Fig. 11

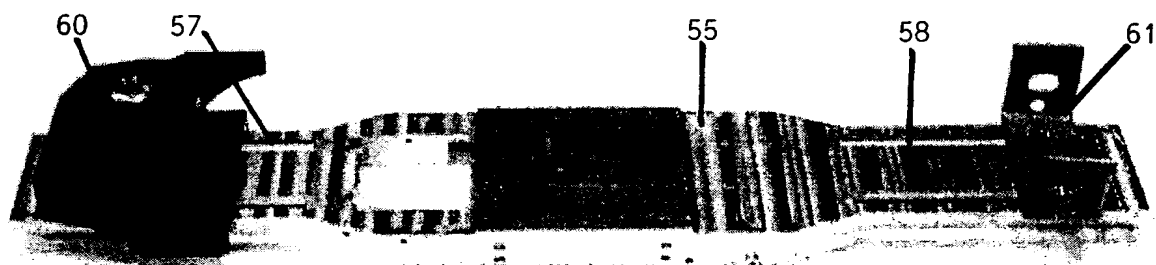


Fig. 12

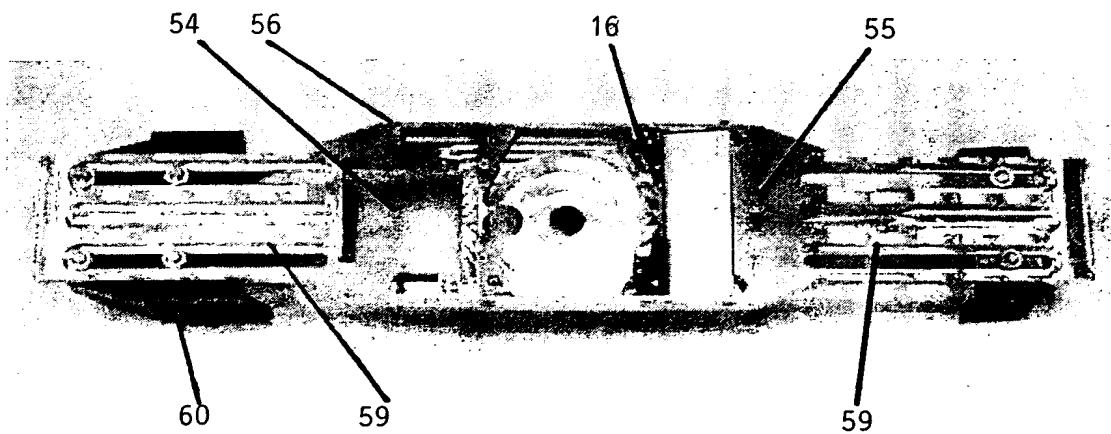
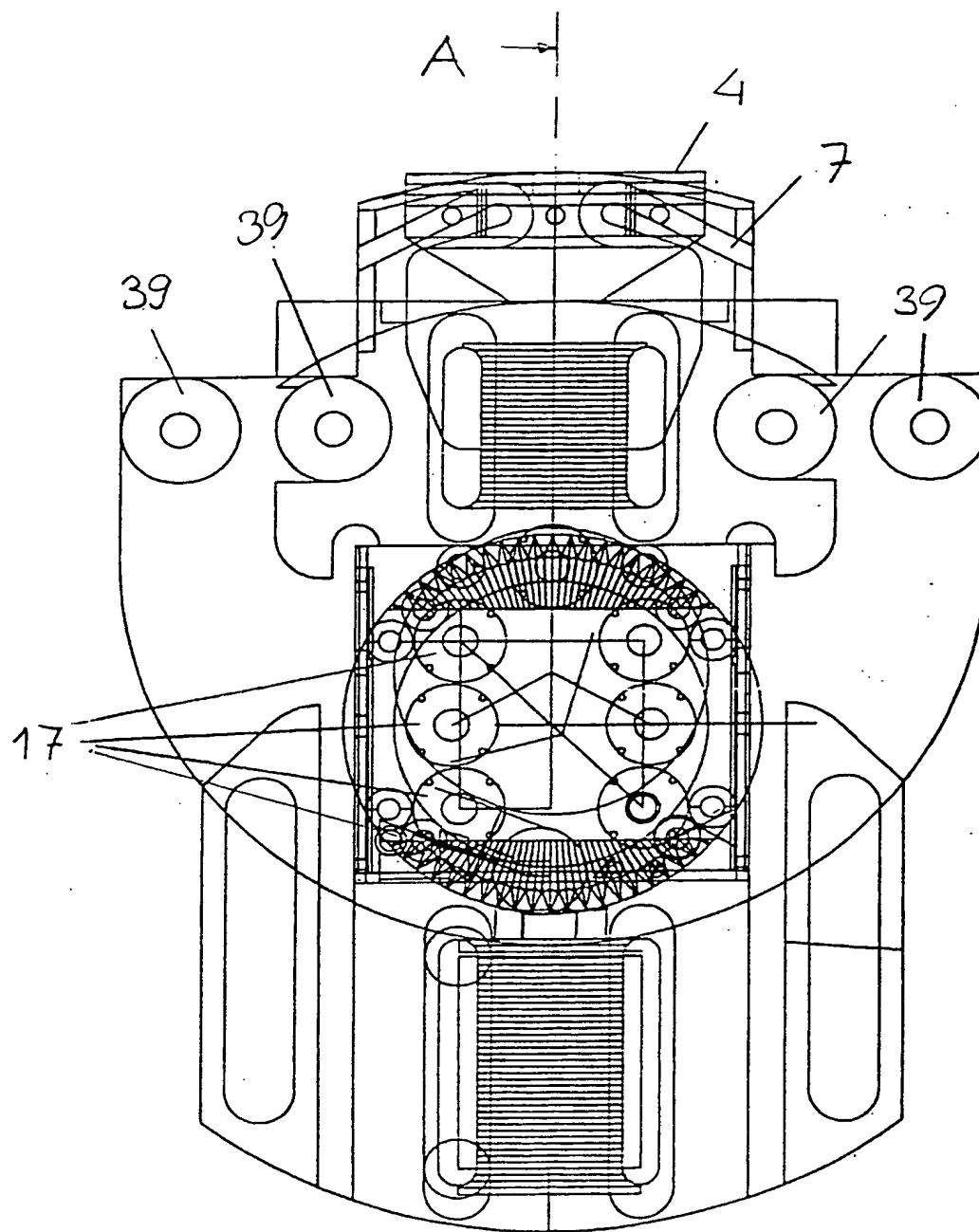


Fig. 13





A — Fig. 14

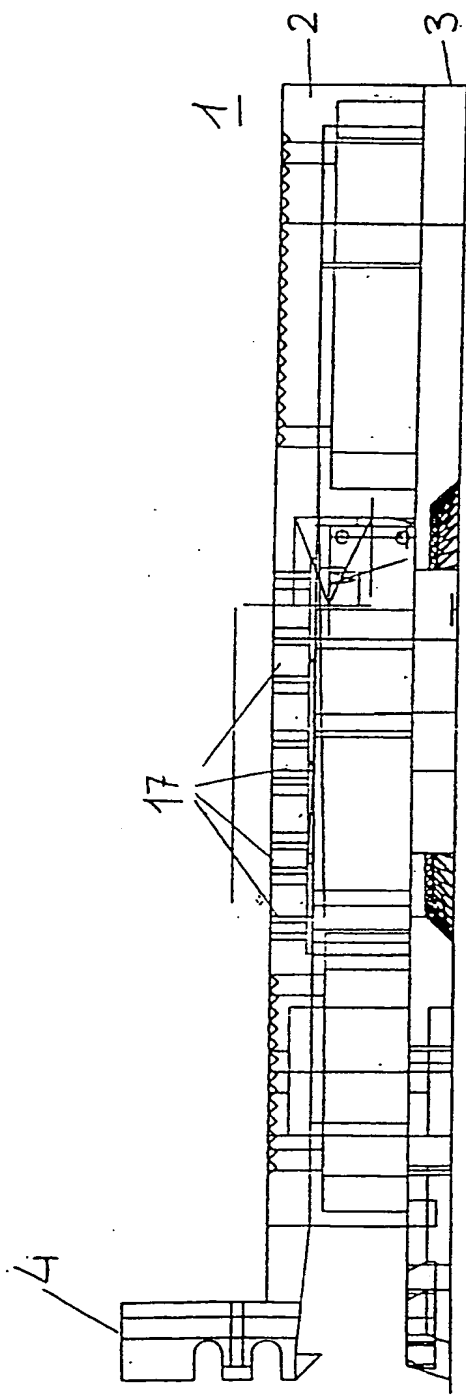


Fig. 15

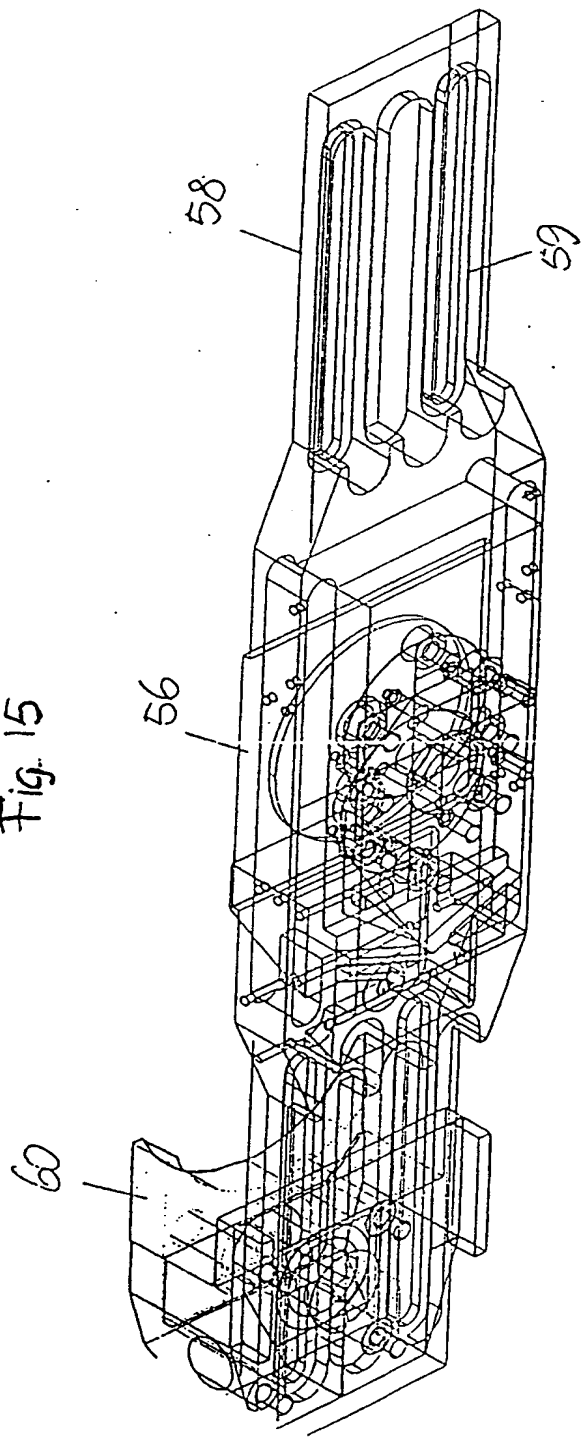


Fig. 16

Fig. 17

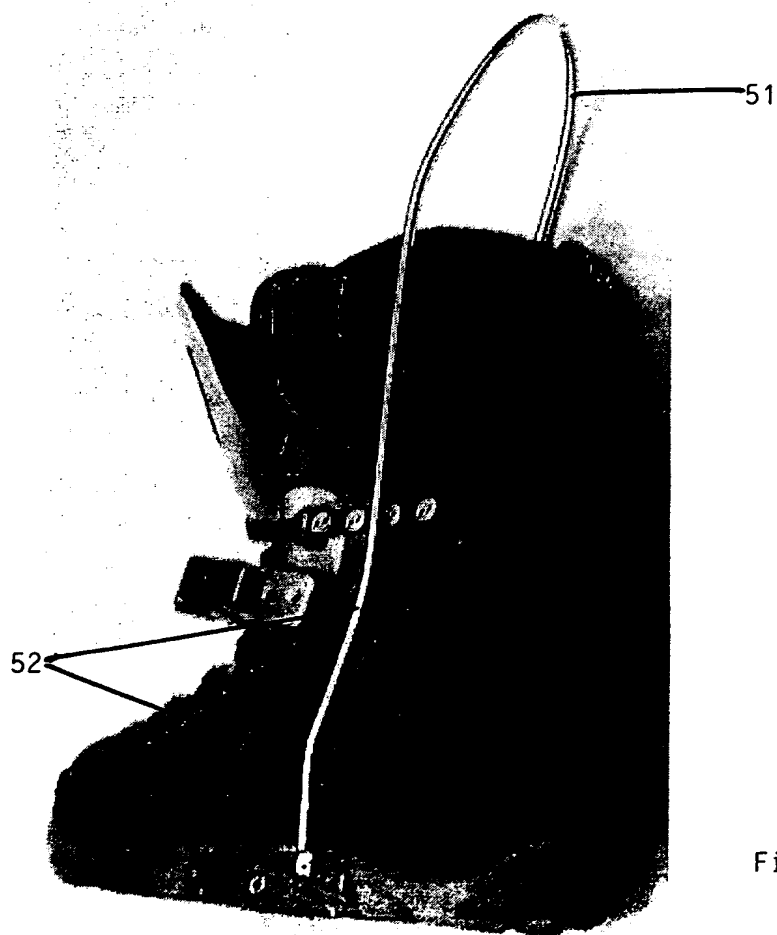
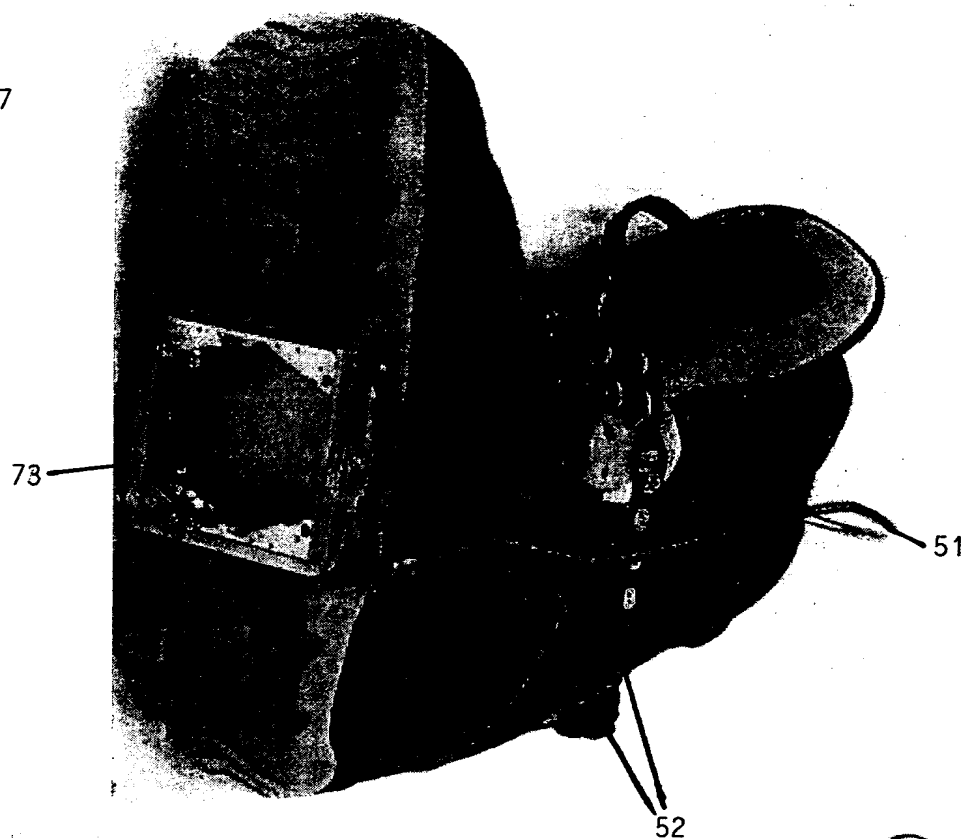


Fig. 19

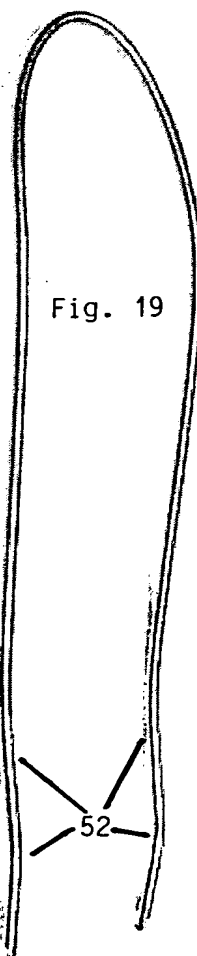


Fig. 18

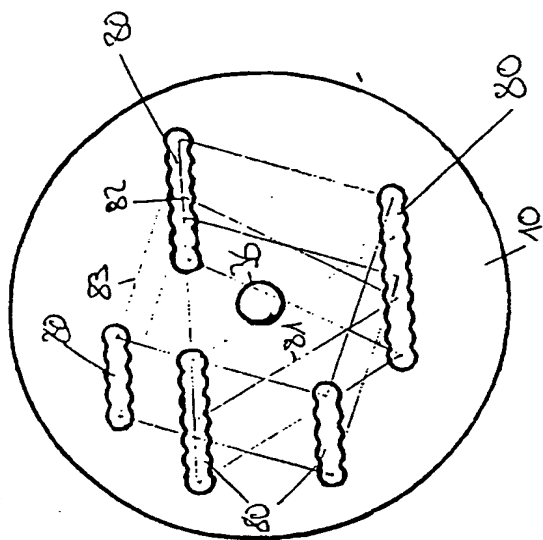


Fig. 21

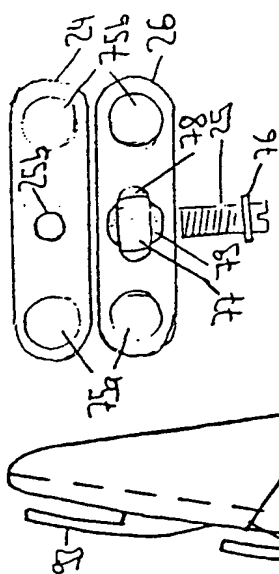


Fig. 22

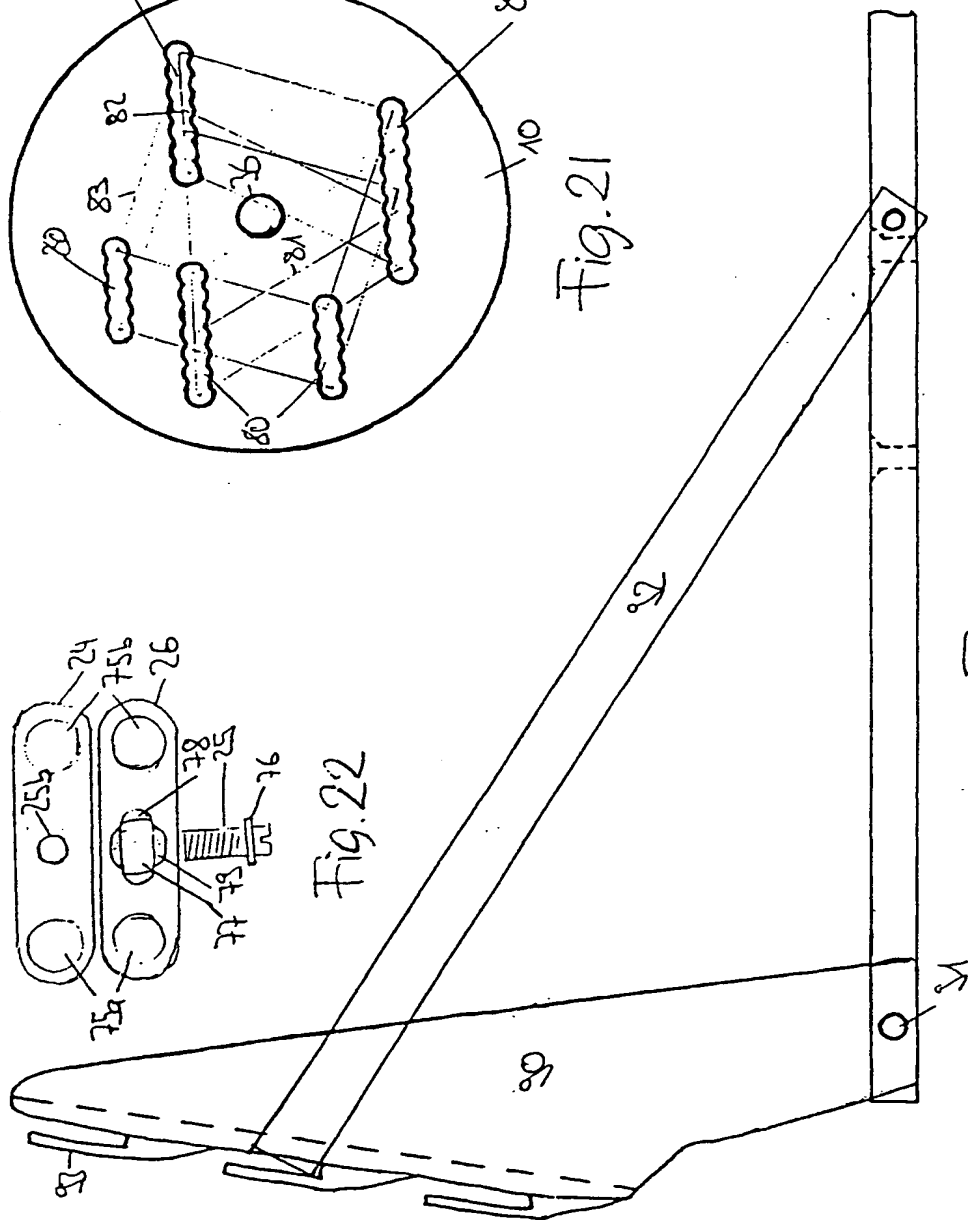


Fig. 20

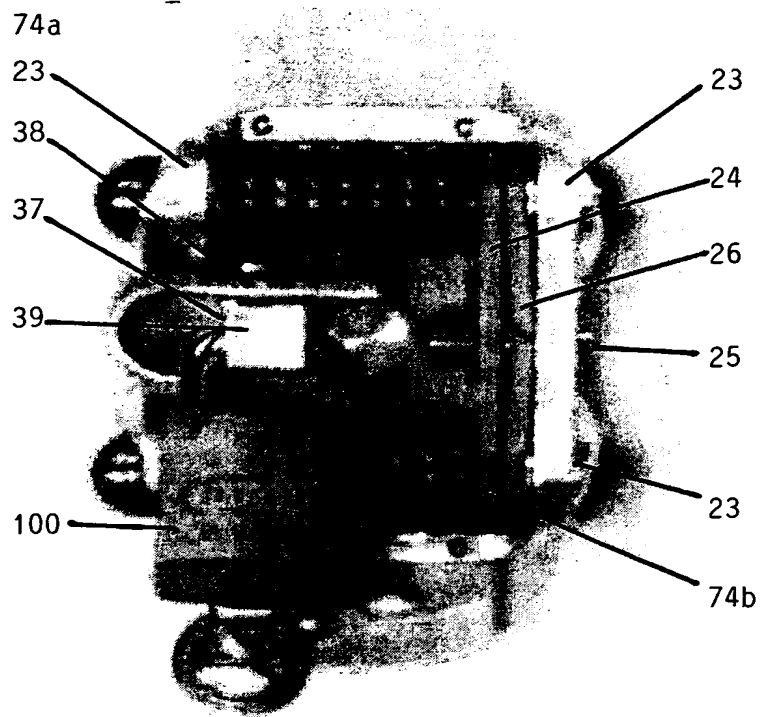


Fig. 23

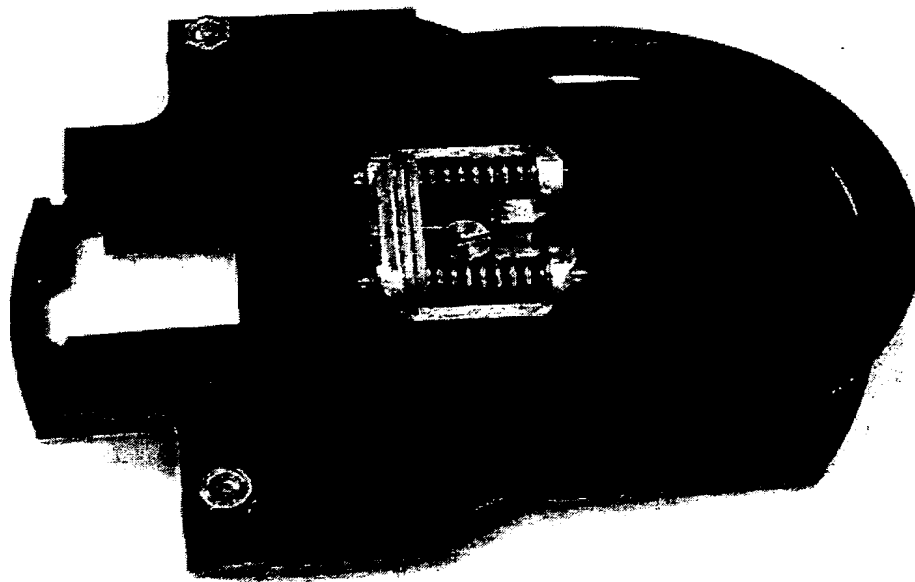


Fig. 24a

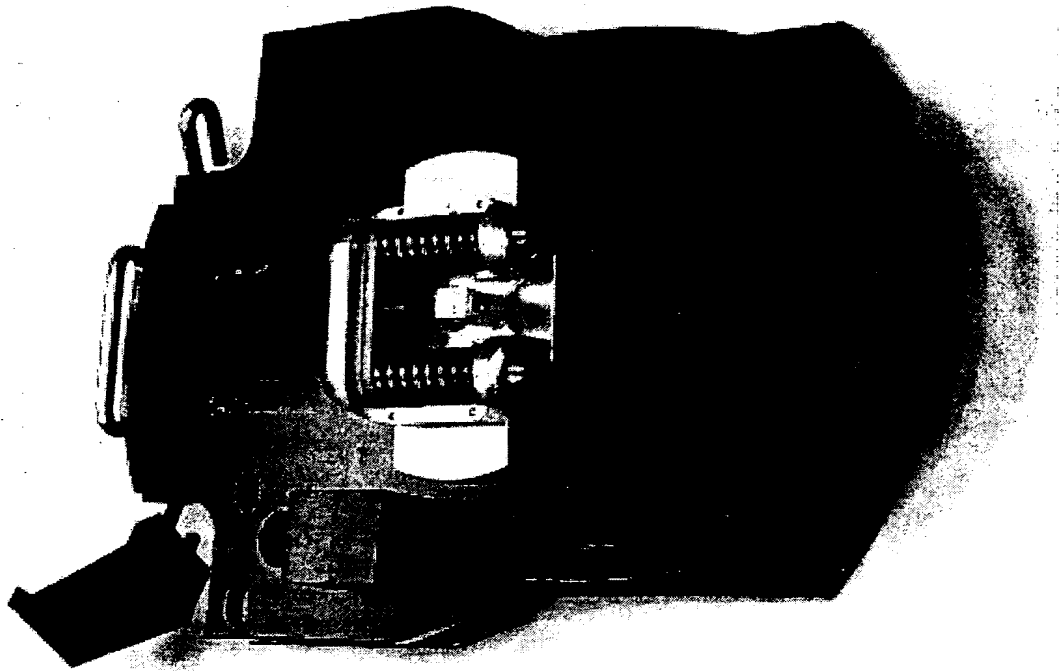


Fig. 24b

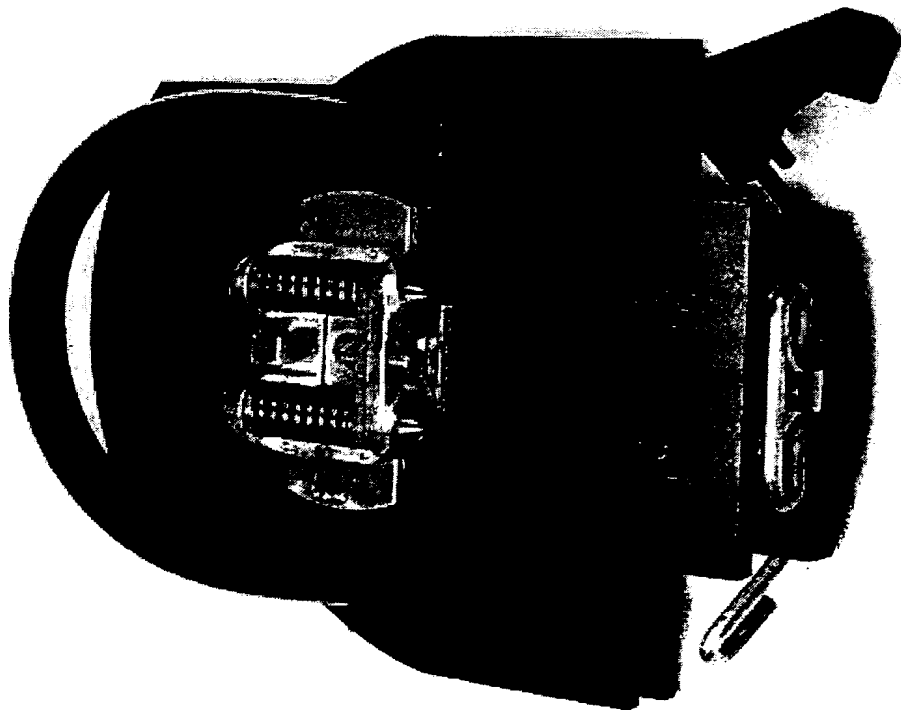


Fig. 24c

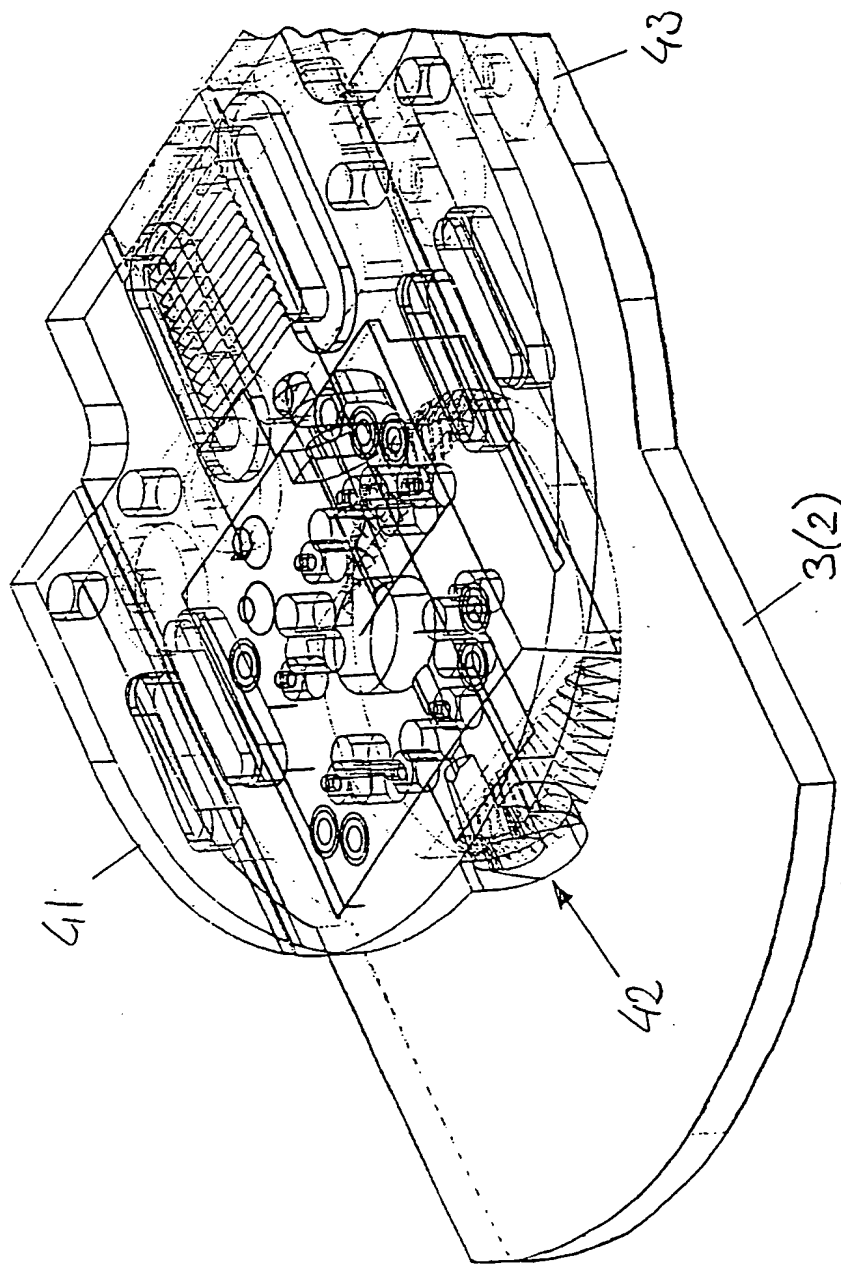


Fig. 25

Fig. 26

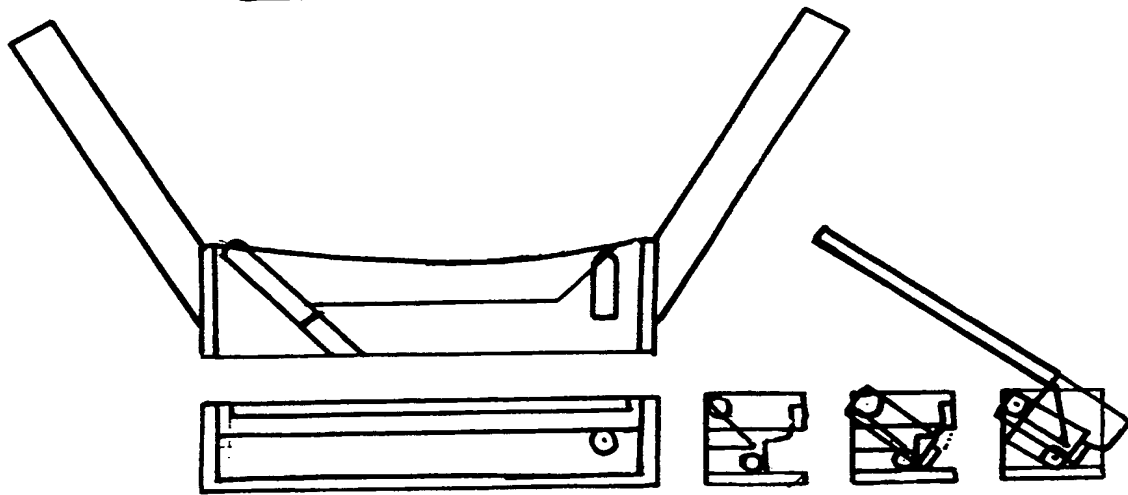
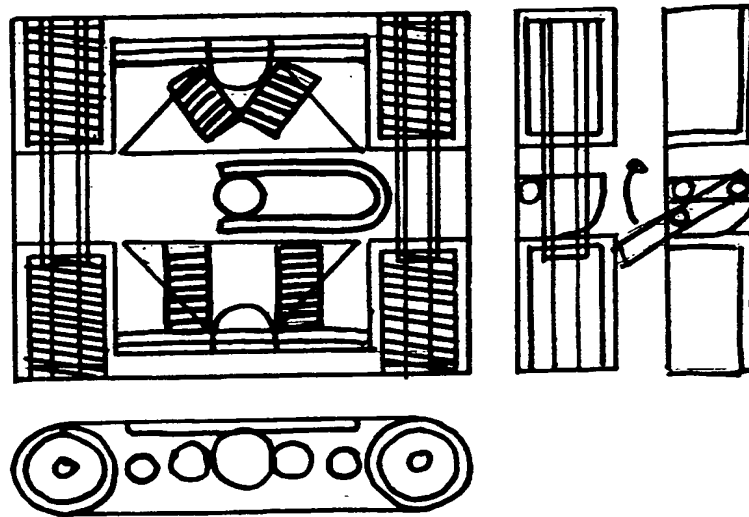
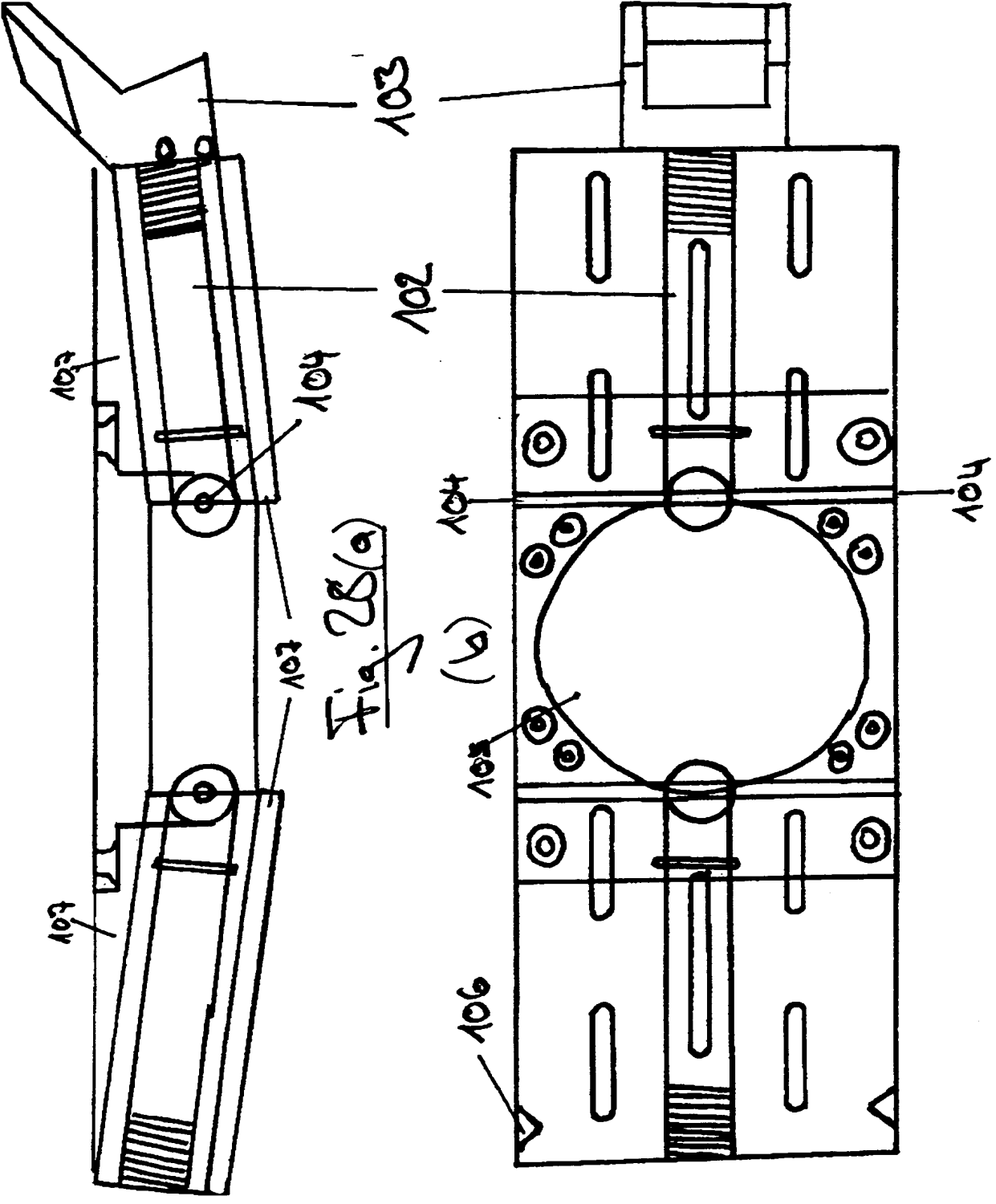


Fig. 27(a)

Fig. 27(b)





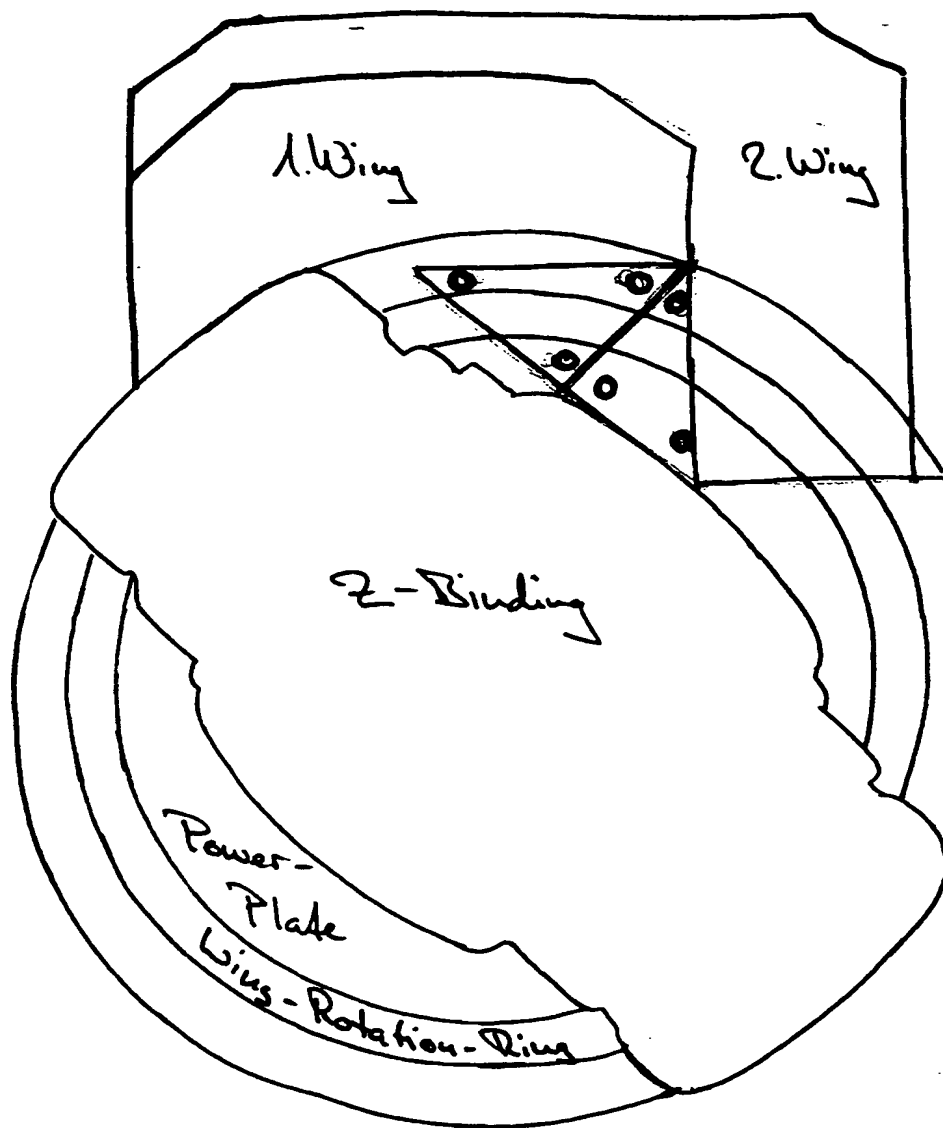


Fig. 29